

Diagramas de Feynman na Rep. de (\vec{k}, ω) .

Para sistemas homogêneos ou quase homogêneos (eletrônicos, metais) é mais conveniente trabalhar no espaço \vec{k} . Também, na maioria dos casos, é útil trabalhar no espaço de frequências ω .

Fazemos então a transformada de Fourier "dupla"

$(\vec{r}, t) \rightarrow (\vec{k}, \omega)$ nas funções de Green:

$$G_{dd'}(x, x') = \frac{1}{(2\pi)^4} \int d^4k e^{i\vec{k} \cdot (x - x')} G_{dd'}(\vec{k})$$

onde $\vec{k} = \vec{k}, \omega$ é um quadrivector covariante de modo que

$$\boxed{\vec{k} \cdot \vec{x} = \vec{k} \cdot \vec{r} - \omega t} \Rightarrow \boxed{G_{dd'}(\vec{r}, t, \vec{r}', t') = \int \frac{d^3\vec{k}}{(2\pi)^3} \frac{d\omega}{(2\pi)} e^{i\vec{k} \cdot (\vec{r} - \vec{r}') - i\omega(t - t')} G_{dd'}(\vec{k}, \omega)}$$

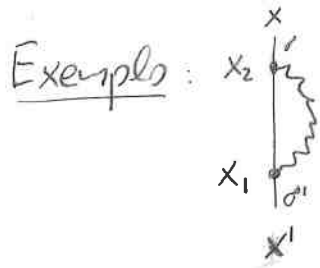
Nessa representação, o potencial U fica na forma:

$$U_{\alpha\alpha' \beta\beta'}(x, x') = U_{\alpha\alpha' \beta\beta'}(\vec{r} - \vec{r}') \delta(t - t') \quad (\text{Coulombiano e "instantâneo"})$$

$$= \frac{1}{(2\pi)^4} \int d^4k e^{i\vec{k} \cdot (x - x')} U_{\alpha\alpha' \beta\beta'}(k) = \int \frac{d^3\vec{q}}{(2\pi)^3} e^{i\vec{q} \cdot (\vec{r} - \vec{r}')} U_{\alpha\alpha' \beta\beta'}(\vec{q}) \delta(t - t')$$

$$\left(\text{Já que } \delta(t - t') = \int \frac{d\omega}{2\pi} e^{-i\omega(t - t')} \right) \text{ sendo } \boxed{U_{\alpha\alpha' \beta\beta'}(\vec{q}) = \int d^3\vec{r} e^{-i\vec{q} \cdot \vec{r}} U_{\alpha\alpha' \beta\beta'}(\vec{r})}$$

Como ficam os diagramas nesse caso?



$$\text{Exemplo: } iG^{(\text{Diagram})}(x, x') = - \int d^4x_1 d^4x_2 G^{(0)}(x, x_2) G^{(0)}(x_2, x_1) G^{(0)}(x_1, x')$$

$$iG^{(\text{Diagram})}(x, x') = - \int d^4x_1 d^4x_2 \int \frac{d^4q d^4k d^4p d^4p'}{(2\pi)^4} e^{iq(x_1-x_2)} e^{ik(x_1-x')} e^{ip(x_2-x_1)} e^{ip'(x-x')} \\ \times U(q) G^{(0)}(k) G^{(0)}(p) G^{(0)}(p')$$

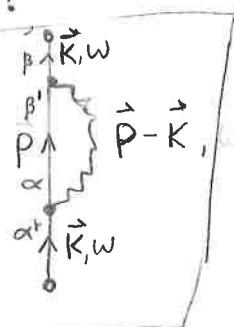
Cons.
de momento

$$(*) \quad [no \text{ quadro}] = - \int \frac{d^4q d^4k d^4p d^4p'}{(2\pi)^4} (2\pi)^4 \delta^4(p-q-k) (2\pi)^4 \delta^4(p-q-p') \\ \times U(q) G^{(0)}(k) G^{(0)}(p) G^{(0)}(p') e^{-ikx'} e^{ip'x}$$

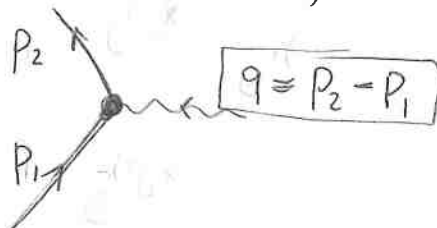
$$\begin{pmatrix} p' \rightarrow p-q \\ q \rightarrow p-k \end{pmatrix} = - \int \frac{d^4k}{(2\pi)^4} \int \frac{d^4p}{(2\pi)^4} e^{ik(x-x')} U(p-k) G^{(0)}(k) G^{(0)}(p) G^{(0)}(k)$$

ou seja:

$$iG^{(\text{Diagram})}(K, \omega) =$$



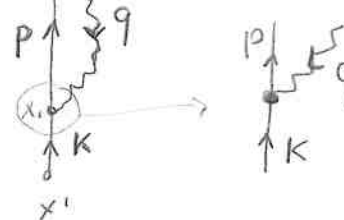
de modo que os vértices ficam na forma (momento é conservado em cada vértice):



cons. de momento (vide trespf)



$$p' + q - p = 0 \Rightarrow \delta^4(p - q - p')$$



$$K + q = p \Rightarrow \delta^4(p - q - K)$$

Usando esse diagrama como base, podemos enunciar as regras dos diagramas de ordem n para $G_{\text{dd}}^{(n)}(\vec{k}, \omega)$:

- 1) Desenhe todos os diagramas conectados, topologicamente distintos com n linhas de interações.
- 2) Associe quadri-momentos (k_i, q_j, \dots) a cada linha de interação e a cada propagador; conservando o momento em cada vértice.
- 3) Associe $iG^{(0)}(k_i)$ às linhas contínuas e $-iU(q_j)$ às linhas de interação. Some (integre) sobre os momentos internos $\left(\int \frac{d^4 p}{(2\pi)^4}\right)$ e índices de spin/estado internos.
- 4) Multiplique por $(-1)^F$ onde F é o número de circuitos fermionicos fechados.
- 5) A cada propagador proveniente de índices temporais iguais, multiplique por $e^{i\omega n} \quad n \rightarrow 0^+$. Isso vem de:

$$G^{(0)}(\vec{r}t, \vec{r}'t') = \int \frac{d^3 k}{(2\pi)^3} \frac{dw}{2\pi} e^{i\vec{k} \cdot (\vec{r}-\vec{r}')} G^{(0)}(\vec{k}, \omega) e^{-i\omega(t-t')}$$

$e^{i\omega n} \quad \text{p/ } t \rightarrow t^+$

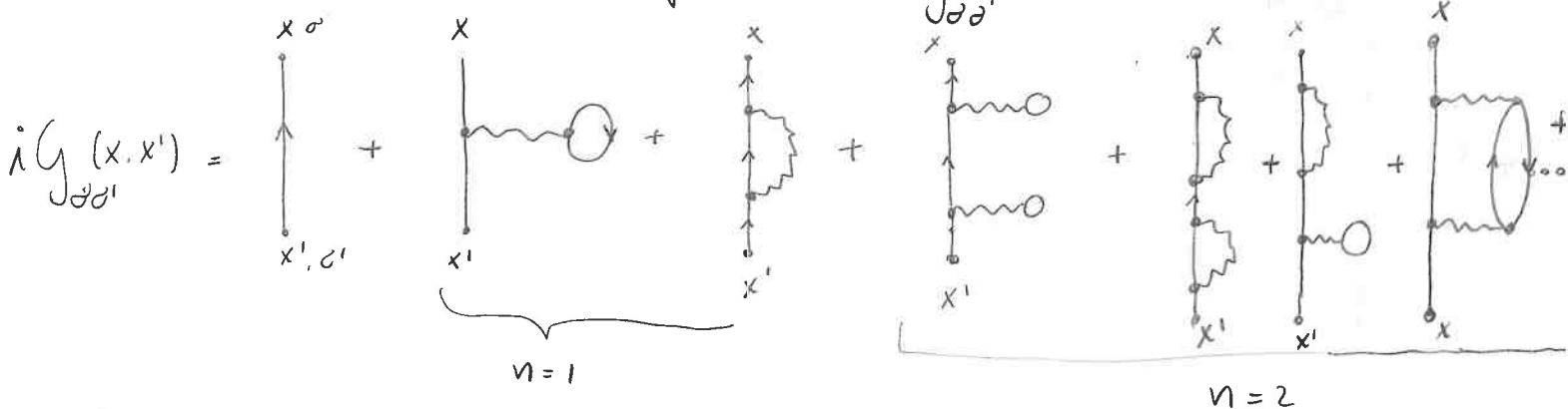
Auto-energia e Equação de Dyson

Quando introduzimos as funções de Green de partículas únicas $G(\vec{r}, t, \vec{r}', t')$, mostramos que elas obedecem uma Equação de Dyson: se $H = H_0 + V \rightarrow G = G_0 + G_0 V G_0 + G_0 V G_0 V G_0 + \dots$

$$G = G_0 + G_0 V G$$

(integrais implícitas em cada produto).

As funções de Green (de muitos corpos) temporalmente ordenados também obedecem uma eq de Dyson com a mesma estrutura. Isso pode ser "visualizado" pela expansão de $G(x, x')$:



Note que alguns diagramas de $n=2$ são iguais a dois diagramas de $n=1$ "colados" por um propagador $G^{(0)}$.
Tais diagramas são chamados "reduíveis". Considerando apenas diagramas "irreducíveis" (não separáveis em dois outros por um "corte" único em um propagador): SEM PERMUTAÇÕES

$$-i\sum_{vv'} = \text{[diagram]} = \text{[diagrams]} + \text{[diagrams]} + \text{[diagrams]} + \text{[diagrams]} + \dots$$

Temos:

$$iG_{dd'}(x, x') = G_0(x, x') + \text{[diagrams]} + \text{[diagrams]} + \text{[diagrams]} + \text{[diagrams]} + \dots$$

Ou seja:

integral + soma sobre radicar

$$iG_{\delta\delta'}^{(0)}(x, x') = iG_{\delta\delta'}^{(0)}(x, x') + iG_{\delta\delta'}^{(0)} \sum_{vv'}^{\star} iG_{vv'}^{(0)} + iG_{\delta\delta'}^{(0)} \sum_{vv'}^{\star} G_{vv'}^{(0)} \sum_{v''v'''v'''}^{\star} G_{v''v'''v'''}^{(0)} + \dots$$

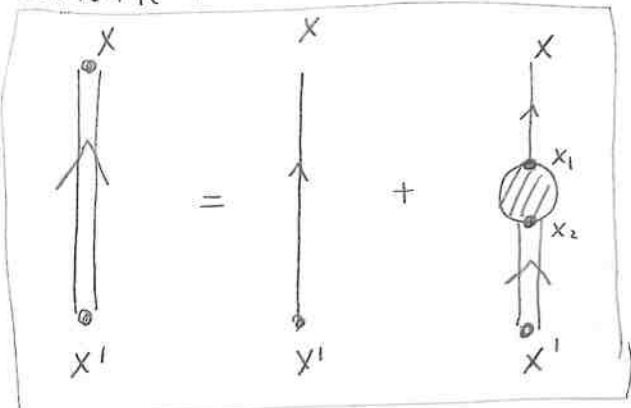
$\Rightarrow G_{\delta\delta'} = G_{\delta\delta'}^{(0)} + G_{\delta\delta'}^{(0)} \sum_{vv'}^{\star} G_{vv'}^{(0)}$

Pictoricamente
Eq de Dyson para $G_{\delta\delta'}(x, x')$

ou

$$G_{\delta\delta'}^{(0)}(x, x') = G_{\delta\delta'}^{(0)}(x, x') + \sum_{vv'} \int d^4x_1 d^4x_2 G_{vv'}^{(0)}(x, x_1) \sum_{vv'}^{\star}(x_1, x_2) G_{vv'}^{(0)}(x_2, x')$$

Pictoricamente:



Eq. de Dyson em formato
de Diagramas de Feynman

Onde $\sum_{vv'}^{\star}$ é a chamada auto-energia própria.

Por outro lado, se apenas tirarmos as "pernas" dos diagramas mais mantendo tanto reduíveis como irreducíveis, temos:

$$-i\tilde{\sum}_{vv'} = \text{Diagrama com loop fechado} = \text{Diagrama com loop fechado} + \dots$$

(auto-energia imprópria)

\Rightarrow

$$\Rightarrow G(x, x') = G_{\delta\delta'}^{(0)}(x, x') + \sum_{vv'} \int d^4x_1 d^4x_2 G_{vv'}^{(0)}(x, x_1) \tilde{\sum}_{vv'}(x_1, x_2) G_{vv'}^{(0)}(x_2, x')$$

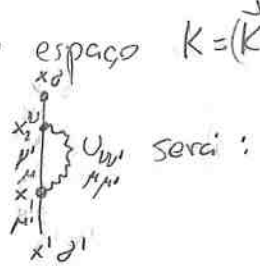
(não é tipo Dyson)

$\tilde{\sum}_{vv'}$ → auto-energia imprópria

Auto-energia e Eq. de Dyson no espaço de momentos

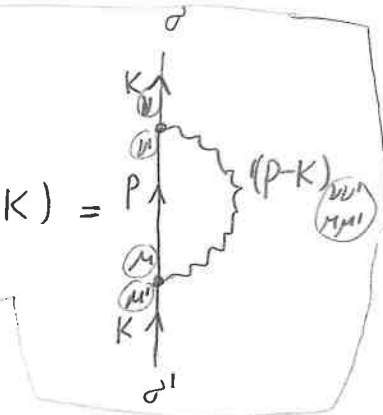
Os mesmos argumentos podem ser aplicados no espaço $K = (\vec{K}, \omega)$

Havíamos mostrado que a contribuições para o diagrama



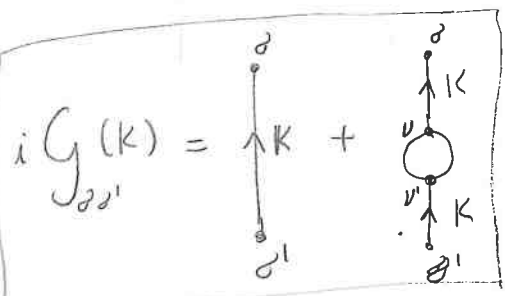
$$iG_{\mu\nu}^{(\text{Diagram})}(x, x') = \int \frac{d^4 K}{(2\pi)^4} e^{iK(x-x')} (iG^{(0)}(K)) \quad \text{onde}$$

$$iG_{\mu\nu}^{(\text{Diagram})}(K) = \sum_{\mu\mu'} iG_{\mu\nu}^{(0)}(K) \left[\int \frac{d^4 p}{(2\pi)^4} (-iU_{\mu\nu}(p-K)) iG_{\mu'\nu'}^{(0)}(p) \right] iG_{\mu'\nu'}^{(0)}(K)$$

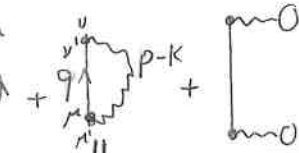


ou seja, o momento da contribuições é dado pelo momento

K das "pernas" que multiplicam a integral no momento interno p . Em geral:

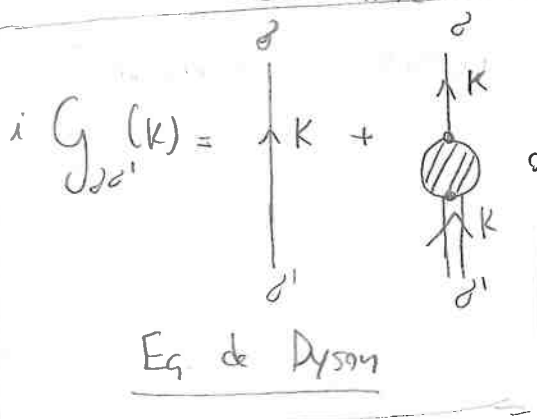


$$\text{onde } \hat{\Sigma}(\vec{K}, \omega) = \text{(imprópria)}$$

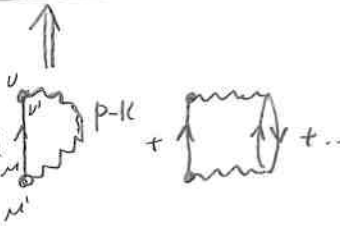


$$\sum_{\mu\mu' M\mu'} \int \frac{d^4 q}{(2\pi)^4} U_{\mu\nu}(p-K) G_{\mu'\nu'}^{(0)}(p)$$

ou ainda



$$\text{onde } \hat{\Sigma}^*(\vec{K}, \omega) = \text{(própria)}$$



Eq. de Dyson

Ou seja, sabendo-se as expressões para $U(q, \omega)$ e $G_{\mu\nu}^{(0)}(q, \omega)$ as contribuições dos diagramas em $\hat{\Sigma}(\vec{K}, \omega)$ ou $\hat{\Sigma}^*(\vec{K}, \omega)$ podem ser calculadas (em integras como as acima) e $G_{\mu\nu}(\vec{K}, \omega)$ pode ser calculada, orden a orden,... (em princípio)

Exemplos (importantes) de cálculo de Diagramas

Iniciamos com a função de Green em 1º orden ($n=1$):
para fermion, em um sistema homogêneo e

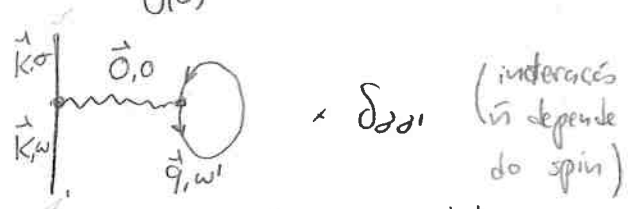
$$\langle U(q) \rangle_{\text{pp}} = U(q) \delta_{\alpha\alpha'} \delta_{\beta\beta'}$$

indep.
de spin

$$iG_{dd'}^{(1)}(\vec{k}, \omega) = \text{Diagrama de Hartree} + \text{Diagrama de self-energy} = \text{(I)} + \text{(II)}$$

de modo que $G_{dd'}^{(1)}(\vec{k}, \omega) \approx G_{dd'}^{(0)}(\vec{k}, \omega) + G_{dd'}^{(1)}(\vec{k}, \omega)$. Avaliemos os termos (I) e (II).

(I) "Diagrama de Hartree":



$$(I) = \underbrace{[i \cdot i \cdot i \cdot (-i)]}_{(-1)} \int \frac{d^3 \vec{q}}{(2\pi)^3} \frac{d\omega'}{(2\pi)} \times (-1)^4 \left(G^{(0)}(\vec{k}, \omega) \right)^2 U(0) \cdot G^{(0)}(\vec{q}, \omega') \cdot e^{i\omega' q}$$

↑ Loop fechado

↑ Tempor iguais

$$= + \left(G^{(0)}(\vec{k}, \omega) \right)^2 U(0) \int \frac{d^4 q}{(2\pi)^4} G^{(0)}(q) e^{i\omega q}$$

Utilizaremos agora o fato de que o sistema é homogêneo (e.g., gás de elétrons) de modo que temos:

$$G_{dd'}^{(0)}(\vec{k}, \omega) = \delta_{dd'} \left[\frac{\Theta(|\vec{k}| - k_F)}{\omega - \epsilon_k + i\eta} + \frac{\Theta(k_F - |\vec{k}|)}{\omega - \epsilon_k - i\eta} \right]$$

spin

onde

$$H_0 = \sum_{k\sigma} E_k C_{k\sigma} + C_{k\sigma}^\dagger$$

$$E_k = \frac{\hbar^2 k^2}{2m}$$

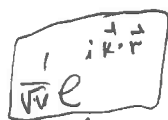
que é o "propagador livre"

Cálculo do propagador livre do gás de elétrons

Sendo $H_0 = \sum_{\vec{K}0} \epsilon_{\vec{K}} c_{\vec{K}0}^\dagger c_{\vec{K}0}$:

$$c_{\vec{K}0}^\dagger |\Phi_0\rangle = \begin{cases} 0 & |\vec{K}| < K_F \\ |\Phi_{1e}^{(N+1)}\rangle & |\vec{K}| > K_F \end{cases}$$

$|\Phi_0\rangle \rightarrow$ estado fundamental



$$c_{\vec{K}0} |\Phi_0\rangle = \begin{cases} |\Phi_{1h}^{(N-1)}\rangle & |\vec{K}| < K_F \\ 0 & |\vec{K}| > K_F \end{cases}$$

Sendo $\hat{\Psi}(\vec{r}) = \sum_{\vec{K}0} \Psi_{\vec{K}0}(\vec{r}) \hat{c}_{\vec{K}0}$, temos:

$$\Psi_I(\vec{r}, t) = e^{iH_0 t} \Psi(\vec{r}) e^{-iH_0 t}$$

$$iG_{\alpha\beta}^{(0)}(\vec{r}t, \vec{r}'t') = \langle \Phi_0 | T[\psi_I(\vec{r}t) \psi_I^+(\vec{r}'t')] | \Phi_0 \rangle = \Theta(t-t') \langle \Phi_0 | \psi_I(\vec{r}, t) \psi_I^+(\vec{r}', t') | \Phi_0 \rangle + \Theta(t'-t) \langle \Phi_0 | \psi_I^+(\vec{r}, t') \psi_I(\vec{r}', t) | \Phi_0 \rangle$$

$$= \delta_{\alpha\beta} \cdot \frac{1}{V} \cdot \sum_{\vec{K}} e^{i\vec{K} \cdot (\vec{r} - \vec{r}')} e^{-i\epsilon_{\vec{K}}(t-t')}, \left(\Theta(t-t') \cdot \Theta(|\vec{K}| - K_F) - \Theta(t'-t) \cdot \Theta(K_F - |\vec{K}|) \right)$$

excitação tipo:

partícula ($|\vec{K}| > K_F$) buracos ($K_F < |\vec{K}|$)

$$\frac{1}{V} \sum_{\vec{K}} \rightarrow \int \frac{d^3 \vec{K}}{(2\pi)^3} \quad \text{e temos}$$

$$iG_{\alpha\beta}^{(0)}(\vec{r}t, \vec{r}'t') = \delta_{\alpha\beta} \int \frac{d^3 \vec{K}}{(2\pi)^3} e^{i\vec{K} \cdot (\vec{r} - \vec{r}')} e^{-i\epsilon_{\vec{K}}(t-t')} \left(\Theta(t-t') \Theta(|\vec{K}| - K_F) - \Theta(t'-t) \Theta(K_F - |\vec{K}|) \right)$$

Para calcular $iG_{\alpha\beta}^{(0)}(\vec{K}, \omega)$ utilizamos a identidade:

$$iG_{\alpha\beta}^{(0)}(x, x') = \delta_{\alpha\beta} \int \frac{d^4 K}{(2\pi)^4} e^{i\vec{K}(x-x')} \underbrace{\left[\frac{\Theta(|\vec{K}| - K_F)}{\omega - \epsilon_{\vec{K}} + i\eta} + \frac{\Theta(K_F - |\vec{K}|)}{\omega - (\epsilon_{\vec{K}} - i\eta)} \right]}_{G^{(0)}(\vec{K}, \omega)}$$

$$\Theta(t-t') = - \int_{-\infty}^{\infty} \frac{dw}{(2\pi)^2} \frac{e^{-i\omega(t-t')}}{w+i\eta}$$

de modo que:

$$G_{\alpha\beta}^{(0)}(\vec{K}, \omega) = \delta_{\alpha\beta} \left[\frac{\Theta(|\vec{K}| - K_F)}{\omega - \epsilon_{\vec{K}} + i\eta} + \frac{\Theta(K_F - |\vec{K}|)}{\omega - (\epsilon_{\vec{K}} - i\eta)} \right]$$

Desta forma, o diagrama ① pode ser calculado, para

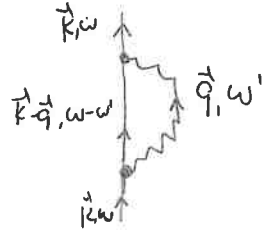
$$\int \frac{d^3 \vec{q}}{(2\pi)^3} \frac{d\omega'}{\omega'} \cdot \left[\frac{\Theta(|\vec{q}'| - K_F)}{\omega' - E_K + i\eta} + \frac{\Theta(K_F - |\vec{q}'|)}{\omega' - E_K - i\eta} \right] e^{i\vec{q}' \cdot \vec{n}} = \left(\frac{1}{\omega \pm i\eta} - P(\frac{1}{\omega}) \mp i\pi \delta(\omega) \right)$$

$$= 2 \int \frac{d^3 \vec{q}}{(2\pi)^3} \frac{i\Theta(K_F - |\vec{q}'|)}{2} = i \boxed{N} \sin \boxed{\text{degenerade}}$$

$$\Rightarrow \int \frac{d\omega'}{(2\pi)} \frac{f(\omega')}{\omega \pm i\eta} = \mp \frac{i}{2} f(0)$$

Logo: $\boxed{\text{I}} = \underbrace{\left(G^{(0)}(\vec{k}, \omega) \right)^2}_{\text{"permaneça"}}, i U(0) \boxed{N}$ "Hartree"

Calcularemos os termos $\boxed{\text{II}}$: "Exchange"



$$\boxed{\text{II}} = \underbrace{\left[i \times i (-1) \right]}_{-1} \int \frac{d^3 \vec{q}}{(2\pi)^3} \frac{d\omega'}{\omega'} \cdot \left(G^{(0)}(\vec{k}, \omega) \right)^2 U(\vec{q}) G^{(0)}(\vec{k} - \vec{q}, \omega - \omega') e^{i(\omega - \omega') \eta}$$

$$\begin{cases} \vec{k}' = \vec{k} - \vec{q} \\ \omega'' = \omega - \omega' \end{cases}$$

$$= - \underbrace{\left(G^{(0)}(\vec{k}, \omega) \right)^2}_{\text{"permaneça"}}, \int \frac{d^3 \vec{k}'}{(2\pi)^3} U(\vec{k} - \vec{k}') \underbrace{\int \frac{d\omega''}{(2\pi)} G^{(0)}(\vec{k}', \omega'') e^{i\omega'' \eta}}_{I(\vec{k}')(\omega)} e^{i\omega'' \eta}$$

Calculando $I(\vec{k}')(\omega)$:

$$I(\vec{k}') = \int_{-\infty}^{\infty} \frac{d\omega''}{(2\pi)} e^{i\omega'' \eta} \left[\frac{\Theta(K_F - k')}{{\omega''} - E_K - i\eta} + \frac{\Theta(k' - K_F)}{{\omega''} - E_K + i\eta} \right] = \dots = i \Theta(K_F - k')$$

Outro jeito: usando $\int_{-\infty}^{\infty} = \int_{-\infty}^{\infty} + \int_{-\infty}^{\infty}$, e escolhendo o contorno "por cima", ficamos apenas com o polo $\omega \mp i\eta$

Tomando $\eta \rightarrow 0$:

$$\boxed{I(\vec{k}') = i \Theta(K_F - k')} \Rightarrow \boxed{\text{II} = -i \left(G^{(0)}(\vec{k}, \omega) \right)^2 \int \frac{d^3 \vec{k}'}{(2\pi)^3} U(\vec{k} - \vec{k}') \Theta(K_F - k')}$$

Juntando tudo, obtemos as contribuições em 1^o ordem:

$$G_{\text{dd}}^{(n=1)}(\vec{k}, \omega) = S_{\text{dd}} \left[G^{(0)}(\vec{k}, \omega) \right]^2 \cdot \left[U(0) \frac{N}{V} - \int_{(2\pi)^3} \frac{d^3 q}{(2\pi)^3} U(\vec{k}-\vec{q}) \Theta(|\vec{q}|) \right]$$

"direto" "troca"

Esses dois termos tem interpretações físicas bem claras na aproximação de Born, o primeiro termo corresponde a um espetáculo "direto" (elástico) do elétron pelo potencial, sem troca de momento. É o chamado termo de "Hartree".

O segundo termo envolve uma troca de momento e sua magnitude vai depender das ocupações do elétron no estado $|\vec{q}|$ via a distribuição de Fermi-Dirac (no caso, a $T=0$, $\Theta(|\vec{q}|)$).

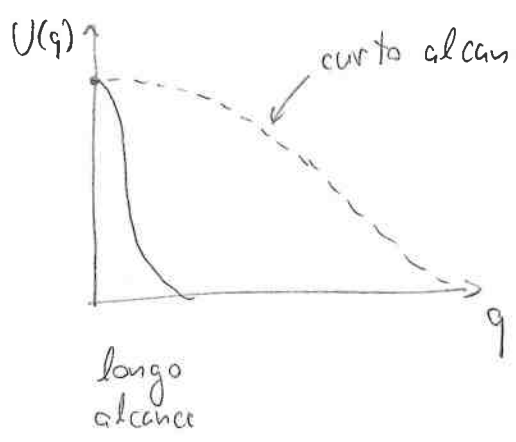
A magnitude relativa do termo de troca depende crucialmente do alcance das interações $U(\vec{r}-\vec{r}')$, ou equivalente, do formato

de suas transformadas de Fourier

Se a interação for de longo alcance, ou seja, $U(q) \rightarrow 0$ rapidamente para q grande, o termo de troca vai

ter uma contribuição relativa menor

$$\left(\int_0^{q_F} d\vec{q} U(\vec{k}-\vec{q}) \ll U(0) \right)$$
 enquanto que



para interações de curto alcance o termo de troca terá uma importância maior ("blindagem" mais forte).